

雷达高频部件的 设计

〔苏联〕 В. И. 弗拉索夫 Я. И. 贝尔曼 著



国防工业出版社

雷达高頻部件的設計

[苏联] В. И. 弗拉索夫 Я. И. 贝尔曼 著

尚志祥譯



國防工业出版社

1965

內容簡介

本書闡述了超高頻設備中若干高頻部件的設計問題。介紹了輻射裝置、傳輸線及其他高頻部件的計算方法，並討論了波導系統中鐵氣體器件的应用。

本書可供從事設計超高頻設備的工程技術人員閱讀，也可作為高等學校的教學參考書。

ПРОЕКТИРОВАНИЕ ВЫСОКОЧАСТОТНЫХ
УЗЛОВ РАДИОЛОКАЦИОННЫХ СТАНЦИЙ

〔苏联〕 Б. И. Власов Я. И. Берман

СУДПРОМГИЗ 1961

*
雷達高頻部件的設計

尚志祥譯

*
国防工业出版社出版

北京市书刊出版业营业登记证字第074号

新华书店北京发行所发行 各地新华书店經售

国防工业出版社印刷厂印裝

*
850×1168 1/32 印張 10³/4 274千字

1965年10月第一版 1965年10月第一次印刷 印數：0,001—1,540冊

统一书号：15034·993 定价：（科六）1.60元

目 录

序言	5
代表符号	6
第一章 天线装置的设计	7
§ 1 天线种类及其计算方法概述	7
§ 2 天线装置的参数	10
§ 3 垂直辐射的同相天线的计算	14
§ 4 “波道型”天线的计算	42
§ 5 “波前型”天线的计算方法	53
§ 6 喇叭天线的计算	78
§ 7 镜面天线的设计	96
§ 8 透镜天线的计算	120
§ 9 缝隙天线的设计	132
§ 10 螺旋天线基本参数的确定	142
§ 11 介质天线的计算	146
§ 12 天线罩	154
§ 13 方向图的扫描	166
§ 14 船用雷达天线的设计	172
§ 15 天线测量	183
第二章 超高频能量传输线的设计	201
§ 16 传输线的用途和分类	201
§ 17 传输线的一般计算问题	203
§ 18 平行线和同轴线参数的确定和选择	210
§ 19 波导主要参数的确定	215
§ 20 波导匹配元件	226
§ 21 传输线的转换元件	232
第三章 铁氧体器件及其在雷达波导系统中的应用	238
§ 22 铁氧体概述	238
§ 23 铁氧体的基本磁化方程	241
§ 24 带有纵向磁化铁氧体的波导系统	246
§ 25 带有横向磁化铁氧体的波导系统	253

第四章 雷达高频部件	264
§ 26 天线转换开关	264
§ 27 检波器	276
§ 28 方向耦合器	280
§ 29 空腔谐振器	297
附录	322
参考文献	338
校正表	339

序 言

雷达高頻部件包括：用来傳輸高頻能量的部件以及將高頻能量轉变为电磁場能或与此作用相反的部件，也就是用以輻射与接收电磁波的部件。

目前在超高頻頻段已研制出許多种不同型式的輻射裝置和能量傳輸線路。超高頻技术是一門具有專門計算方法和設計方法的独立的、广闊的无线电技术部門。本书主要討論有关天綫系統、傳輸線路以及雷达高頻通道中某些高頻部件的設計問題。

对于每一类高頻裝置，都給出基本理論、計算方法及举例。

在設計高頻裝置时，很重要之点是从事實驗工作，它与高頻裝置参数的特殊測量有着紧密的联系。关于这种測量将单独有一节介紹。

本书由四章組成。第一章叙述各种型式的船用雷达天綫及其裝置的設計問題；第二章研究了超高頻傳輸線路的設計；第三章叙述用于雷达高頻通道中的鐵氧体器件的原理；第四章介紹雷达中某些高頻部件（天綫轉換开关、方向耦合器等）的計算。在本书的附录中，搜集有高頻饋綫的資料和計算某些高頻裝置的特殊函数表及其他輔助材料。

代 表 符 号

A	强度函数	L	电感；天线长度
a	半轴；宽度；半径；阻抗比	l	长度
B	磁感应；电纳；隔离系数	δ	损耗角；透入深度；缝隙宽度
b	半轴；垂直尺寸	ϵ	介电常数；增益系数
C	电容；系数；函数	T	周期；能量传输系数
c	自由空间中光速；半轴	T	温度
D	方向系数；口径尺寸；直径	t	时间；方程式的根；距离
d	距离；直径；厚度	V	电位差；函数
E	电场强度	v	速度
e	电荷	X	电抗
F	焦点；力；函数符号	x	距离；点的坐标
f	焦距；频率；幅度分布函数	U	全导纳
W	波阻抗；中间系数；函数符号	Z	全阻抗
M	内磁化强度	z	距离；点的坐标
M	区域数	α	相位常数；角度
m	质量；层数；系数；阶数	β	衰减；角度；幅度系数
N	天线元数	γ	传播常数；角度
n	折射指数；法线；阶数；变换系数	Δ	场的衰减；差值；振子的缩短值
P	功率	Δf	带宽
p	天线组数	Φ	半轴比；磁通量
Q	品质因数	Φ	函数
q	方向系数的比值	ξ	函数；波的缩短系数
R	电阻；半径；喇叭长度	η	效率；函数；波阻抗
r	半径；标准电阻	θ	角坐标
S	面积；螺距	λ	自由空间波长
s	镜像元间的距离	λ_{kp}	截止波长
G	电导	λ_n	波导中波长
g	电导	μ	导磁系数；表面利用系数
H	磁场强度；天线中心高度；函数	ρ	焦点至镜面的距离
h	高度；磁场强度	σ	电导率；系数
I	电流	τ	时间
J	函数符号	Ψ	角坐标；磁力比(迴轉磁比)
i	x 轴单位矢量	φ	角坐标；相位
j	y 轴单位矢量	ω	角频率
K	函数符号；动量矩	\mathcal{E}	效率
k	波数；系数	\mathfrak{M}	磁矩
$K_{\delta, \pm}$	行波系数	Γ	反射系数

第一章

天綫裝置的設計

§ 1 天綫種類及其計算方法概述

各種超短波雷達的不同任務和作用使人們製造出具有各種不同電參數和結構方案的天綫系統。

應用於超高頻波段的天綫可以分為下列六類：

1. 振子式的，它的元件為細金屬棒或金屬管構成的振子（在第一種情況，導體的直徑遠小於波長；第二種情況則可以與波長相比擬）。

2. 縫隙式的。

3. 声學的，亦即各種形狀的金屬喇叭。

4. 光學的——反射鏡式的與透鏡式的。

5. 旋轉極化天綫——螺旋式的與喇叭式的。

6. 表面波天綫——介質棒式的與帶有肋形結構或覆有介質層的平板形的。

振子陣（多振子天綫）和“波道型”天綫都屬於振子式天綫。這兩種系統廣泛地用於分米波和米波警戒雷達及電視設備中。

這類天綫乃是由許多有源的與無源的振子所組成的離散輻射器的總和。這類天綫輻射圖形的計算是基於電磁波的離散源的空間陣列理論。

與同相多振子天綫不同，“波道型”天綫各振子的激勵是不同相的，各振子的電流幅值被認為各不相等。

縫隙天綫用於警戒和導航雷達。由於其體積小，使用起來很方便。

縫隙天綫是在具有矩形或圓形截面的波導的表面鋸銼縫隙而

成，縫隙的寬度远小于波长。这种窄的縫隙可以看作綫性振子。所以根据 A. A. 毕斯多利哥斯 (Пистолькорс) 的“二重性”理論，可以利用由金屬半波振子組成的空間陣列的方向图的計算方法来計算縫隙天綫的輻射图。

这种天綫計算方法的实质是确定空間某几点的場，这时各振子的电流值及其相互位置已知。

声学与光学型式的天綫应用于厘米波和毫米波波段，并具有下列显著的特点：它們的尺寸都远远大于波长。在这种系統中輻射場不是由离散的輻射源形成，而是由輻射表面——波前形成。

为了計算波前所产生的天綫輻射場，可以借用光学的方法以及利用米波波段所应用的方法。

这类天綫方向图的計算是用近似法进行的，因为关于电磁波輻射問題的准确解答只有最简单的天綫才能得到。

为了計算反射鏡式的、喇叭式的和其他几种型式的天綫，广泛地采用了基于众所周知的光学惠更斯原理的近似法。在惠更斯原理的基础上，并利用基尔赫哥弗法 (Кирхгоф) 公式，可以导出当天綫孔徑上場的分布規律已知时的方向图的計算公式。

介质天綫由于其便于携带而成功地用于那些对縮小天綫体积是一个很重要問題的裝载体上。这种天綫广泛地应用于小体积的无线电设备中。

众所周知，在介质中傳播的电磁波将被强烈地吸收，而且频率越高、場強越强，損耗也越大。考虑到这点，介质天綫可适当地用于分米波波段。在厘米波波段則只用于接收系統。此外，要使介质天綫获得窄的波束是相当困难的，所以一般只用于搜索雷达和定向雷达。

介质天綫內的电磁場是以小天綫波导口作为激励源的，电磁場穿过波导开口面之后沿着介质棒向外傳播。为了确定天綫电参数必須求出棒内外电磁場的大小。这个問題目前只解决了无限长的和等圓截面的棒。所得到的解答在决定实际棒的参数时将利用

以下假設。

假設波的傳播只发生在棒的軸綫方向，也就是不考慮與輻射有關的沿徑向傳播的場的相位影響。

並認為圓柱形和圓錐形棒上的波是以恒定相速傳播的，即等於整個棒上相速的平均值。

為了計算輻射場，採用某些簡單的以座標為函數的場的幅值變化規律（通常為等幅或指數衰減）。

表面波天綫由二部分組成：激勵器和引向器。喇叭、線性振子或由波導饋電的縫隙天綫陣可以作為表面波天綫的激勵器；引向器為覆有一定厚度介質層的金屬平板或肋形結構的表面。帶有介質層的引向器表面可以看作為置於金屬面上的具有矩形截面的介質棒。肋形表面的凸起部分在作用特性上相似於平面的金屬-介質透鏡。肋形結構可以當作人工介質層看待。

表面波天綫類似於軸向輻射的多振子天綫，其區別在於前者的輻射器不只是許多個單個元件，而是天綫的整個引向面。

因此，將激勵器的電磁輻射轉變為表面波就能夠增加輻射的方向性（與單激勵器作比較）。

由於介質層中的慢波的緣故，波的主要能量集中在天綫表面的附近，沿法綫方向離開表面則按指數律下降。同時，沿着引向器表面能量不斷地損失，換言之，便是從引向器表面產生電磁波的繞射。

輻射方向圖決定於波長和天綫的結構參數：長、寬、厚及層的介質常數或肋形結構的尺寸。

表面波天綫的方向圖與“波道型”天綫相似，但頻帶更寬。它們之間的差別還在於表面波天綫的最大輻射方向與表面間有小的夾角，該角常稱為壓低角（угол отжима）。

表面波天綫的平坦結構和較好的寬頻帶特性使它能夠用作稍微凸起的飛機天綫，特別是在厘米波雷達中。

螺旋天綫——一種旋轉極化的軸向輻射天綫。它是良導體做

的螺旋。这种辐射系统可以用同轴电缆或波导激励。在第一种情况下，螺旋线与电缆的中心线连接。当螺旋线尺寸与波长成一定比例时，螺旋天线变成纵向辐射天线（那时一个螺圈的长度约等于波长），同时它的场成为旋转极化。极化的旋转方向决定于螺旋旋转的方向。倘若天线辐射左旋极化场，那末它将不能接收右旋极化场，反之亦然。

螺旋天线的辐射场决定于螺圈上已知的电流分布，它与直线辐射器的方向图的计算方法类似。

但是在应用螺旋天线时，计算其辐射场将产生某些困难，这是由于导线中行波相速的决定和曲线积分的计算而产生的。螺旋天线的方向图决定于螺圈的数目、直径、螺距和频率。螺旋天线为宽频带：它的输入阻抗和方向图宽度在很宽频率范围内保持稳定。

显著的优点是能够成功地将螺旋天线用于侦察和干扰设备，这里最重要的是天线系统在旋转极化情况下工作于宽的频率范围内。从结构上考虑，螺旋天线适用于分米波段及与之紧接着的厘米波段。

§ 2 天线装置的参数

任何天线装置都是用电参数和结构参数来表征其特性的。它们通常由雷达天线装置的战术、技术要求提供。

电参数决定于雷达的用途，结构指标则决定于电参数值及天线在某一载体上的安装条件。这两类参数间存在着依赖关系。

天线电参数包括：方向图，方向系数，天线辐射电阻与输入阻抗，效率，天线增益系数，有效吸收面积等。

天线结构参数为：基本的几何尺寸（长、宽、高），通常还标出第四个尺寸，即被称作旋回半径（радиус обметания），它被理解为天线结构元件离转动轴的最大距离；装置的重量；结构刚度；强度或抗破坏能力与静负荷；风压载荷以及风的转动力矩等。

現在討論天線的電參數。天線方向圖表征了不同方向的相對輻射分布。遠區向量 \vec{E} 分量的角分布表示為角座標 θ 與 φ 的函數 $F(\theta)$ 與 $F(\varphi)$ (圖 1)。這些函數稱為該天線各相應電場分量的方向圖。

因為 $F(\theta)$ 和 $F(\varphi)$ 在一般情況下為複量，所以它們可以分為幅度圖形和相位圖形。但是實際上總是對幅度圖形 $|F(\theta)|$ 和 $|F(\varphi)|$ (方向圖) 感興趣。相位方向圖不隨座標 θ 與 φ 的變化而變化 (或跳躍式地變化 π 角度)，因為大多數天線有相位中心。

方向圖 $F(\theta)$ 與 $F(\varphi)$ 可以用球座標系來表示，這裡任一點的向量半徑 $\vec{r}(\theta, \varphi)$ 等於或正比於數值 $F(\theta)$ 和 $F(\varphi)$ 。通常方向圖繪制在直角座標系里 [$x = \theta$, $y = \varphi$, $z = F(\theta)$ 或 $z = F(\varphi)$]。

事實上天線的設計常常不採用空間的方向圖，而是採用 $\theta = \text{常數}$ 和 $\varphi = \text{常數}$ 的截面圖。可以用這些截面圖來表示空間的方向圖。

在解決各種雷達問題和進行天線測量時，都採用功率方向圖的概念，它表徵了天線輻射功率的角度分布。

某一個方向單位立體角內的輻射功率流 $P(\theta, \varphi)$ 正比於 $F^2(\theta, \varphi)$ 。這一個函數稱為功率方向圖。為了繪制方便起見，規定方向圖的最大值為一，即

$$F_1^2(\theta, \varphi) = \frac{P(\theta, \varphi)}{P_{\max}(\theta, \varphi)} = \frac{F^2(\theta, \varphi)}{F_{\max}^2(\theta, \varphi)}$$

方向圖可以有下面二種表示方式：主波瓣的半功率點寬度 $\theta_{0.5P_{\max}}^\circ$ 或 $\varphi_{0.5P_{\max}}^\circ$ 以及第一個旁瓣的電平 $F_b(\theta)$ 或 $F_b(\varphi)$ 。

為了估量天線電磁能量在某一方向的集中程度，引入第二個參數——方向系數 (K. H. A.) $D(\theta, \varphi)$ 。

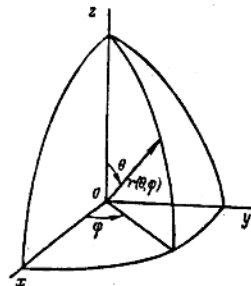


图 1 球座标系统

方向系数表示在 (θ, φ) 方向上该天线的辐射功率比各向均匀辐射天线在同一方向所辐射的功率大多少倍 (两天线的总辐射功率相等)。

倘若: P_Σ ——总辐射功率;

$\frac{P_\Sigma}{4\pi}$ ——各向均匀辐射天线单位立体角内的辐射功率;

$P(\theta_i, \varphi_i)$ ——有方向性天线在 (θ_i, φ_i) 方向的辐射功率。

那末方向系数就定义为

$$D(\theta_i, \varphi_i) = \frac{4\pi P(\theta_i, \varphi_i)}{P_\Sigma}。 \quad (1)$$

有时方向系数的定义不是与各向均匀辐射体作比较, 而是与半波振子的方向系数作比较。

利用总辐射功率的表示式, 公式(1)改写为

$$\begin{aligned} D(\theta_i, \varphi_i) &= \frac{4\pi P(\theta_i, \varphi_i)}{\int_0^{2\pi} \int_0^\pi P(\theta, \varphi) \sin \theta d\varphi d\theta} \\ &= \frac{4\pi F_1^2(\theta_i, \varphi_i)}{\int_0^{2\pi} \int_0^\pi F_1^2(\theta, \varphi) \sin \theta d\varphi d\theta}。 \end{aligned}$$

方向系数的最大值相当于最大的辐射方向, 也就是当 $F_1(\theta_i, \varphi_i) = 1$ 。因而,

$$D_{\max} = \frac{4\pi}{\int_0^{2\pi} \int_0^\pi F_1^2(\theta, \varphi) \sin \theta d\varphi d\theta}。 \quad (2)$$

从上式可知, 方向系数的计算转化为二重积分的计算, 其中被积函数为天线的功率方向图。

在计算方向系数时常常采用近似的方法, 即基于方向图的断面计算法。倘若方向图近似于具有 a 、 b 、 c 三个轴的旋转椭圆体(图 2), 那末半波振子的方向系数按下式计算:

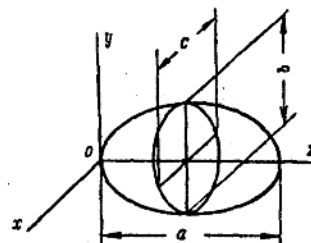


图 2 方向图的近似法

$$D = \left. \begin{array}{l} \frac{4(\Phi^2 - 1)}{1 - \frac{1}{2\Phi\sqrt{\Phi^2 - 1}} \ln \frac{\Phi + \sqrt{\Phi^2 - 1}}{\Phi - \sqrt{\Phi^2 - 1}}} \quad (\text{当 } \Phi > 1 \text{ 时}); \\ \frac{4(1 - \Phi^2)}{\frac{1}{\Phi\sqrt{1 - \Phi^2}} \arctg \frac{\sqrt{1 - \Phi^2}}{\Phi}} \quad (\text{当 } \Phi < 1 \text{ 时}), \end{array} \right\} (3)$$

式中 $\Phi = \sqrt{\Phi_1 \Phi_2}$; $\Phi_1 = \frac{a}{b}$; $\Phi_2 = \frac{a}{c}$ 。

低准确度的方向系数可以按下列近似公式计算：

$$D = \frac{41250}{\theta_{0.5}^{\circ} \Phi_{0.5}^{\circ}} \mu,$$

式中 μ —— 天线表面利用系数；

$\theta_{0.5}^{\circ} \Phi_{0.5}^{\circ}$ —— 垂直面与水平面方向图宽度。

天线辐射电阻 (R_Σ) 表征天线的辐射功率。 R_Σ 的物理意义为：它是一个等效电阻，将它乘以天线电流幅值平方的半数便等于辐射功率 P_Σ ，即

$$P_\Sigma = \frac{1}{2} I_{\max}^2 R_\Sigma$$

辐射电阻的计算与天线种类有关，或者用感应电动势法，或者借助于乌莫夫—玻印廷向量。

在天线与振荡器的匹配问题上，十分重要的具有复数性质的输入阻抗

$$Z_A = R_A + jX_A$$

天线效率 (η) 被理解为辐射功率与输入功率之比

$$\eta = \frac{P_\Sigma}{P_0}$$

倘若输入功率 $P_0 = \frac{1}{2} I_{\max}^2 R_A$ ，辐射功率 $P_\Sigma = \frac{1}{2} I_{\max}^2 R_\Sigma$ ，

那末效率的表示式为

$$\eta = \frac{R_\Sigma}{R_A} = \frac{R_\Sigma}{R_\Sigma + R_{\text{散}}} \quad (4)$$

从上式可知，效率愈高，天线的损耗 R_n 愈小。雷达天线由于其与地面的耦合很弱，因而损耗较小。超高频天线的效率约为 90~95%，所以天线增益（等于方向系数与效率的乘积）可以认为等于方向系数

$$\epsilon = D\eta \approx D.$$

用作接收电磁波用的天线的特性决定于所谓有效吸收面积。有效吸收面积 A 乘以接收点的能量流便是天线的输出功率。

接收天线从不同方向所接收的讯号各不相同，所以 $A = A(\varphi, \theta)$ 。在天线方向系数与有效吸收面积的最大值间存在着关系式

$$A_{\max} = \frac{\lambda^2}{4\pi} D_{\max},$$

从而

$$A(\theta, \varphi) = \frac{\lambda^2}{4\pi} D(\theta, \varphi).$$

下面进一步讨论各种具体天线的参数计算方法。

§ 3 垂直辐射的同相天线的计算

为了加大天线的方向系数，将各个辐射器合理地联合在一起，各个辐射器以一定的规律馈电。这种天线可以分为二类：沿着辐射器所安装的轴的方向辐射的天线和垂直于此轴而辐射的天线。前者（“波道型”天线）将在下一节讨论。

现在研究垂直辐射天线（也称为“波前型”天线）的基本理论。这种天线在效能上的提高可解释为各个辐射器在同一方向空间的场的合成。最广泛应用的天线系统是由等电流幅值及等相位差 ψ 的辐射器所组成。事实上为了馈电系统的简单起见，多半采用各辐射器间的同相馈电，在此情况下 $\psi = 0$ 。

现在讨论辐射系统（所谓辐射阵）的方向特性。倘若辐射器均匀地沿 x 轴分布（图 3），它们的电流幅值相等，相位相同，那末这一系统的方向图（场的）可以表示为

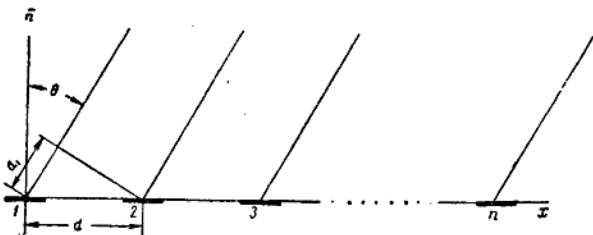


图3 辐射器阵

$$F(\theta) = F_1(\theta) \frac{\sin \frac{nd_e \sin \theta}{2}}{\sin \frac{d_e \sin \theta}{2}}, \quad (5)$$

式中 $F_1(\theta)$ ——单振子的方向图。代入

$$\frac{\sin \frac{nd_e \sin \theta}{2}}{n \sin \frac{d_e \sin \theta}{2}} = F_n(\theta), \quad (6)$$

式中 $F_n(\theta)$ ——辐射阵因子，可得

$$F(\theta) = F_1(\theta) F_n(\theta). \quad (7)$$

在上述公式中

$$d_e = 2\pi \frac{d}{\lambda}, \quad (8)$$

式中 d ——振子间的距离。单个辐射器（对称振子）的场的方向图由下式表示：

在 E 面，

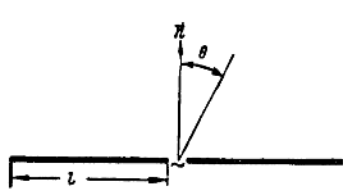
$$F_1(\theta) = \frac{\cos\left(2\pi \frac{l}{\lambda} \sin \theta\right) - \cos 2\pi \frac{l}{\lambda}}{\cos \theta}, \quad (9)$$

式中 l ——振子的一个臂长（图 4）；

在 H 面，

$$F_1(\varphi) = 1. \quad (10)$$

通常在多振子天线中，作为天线单元的是半波振子 ($l =$



0.25 λ), 此时公式(9)变为

$$F_1(\theta) = \frac{\cos\left(\frac{\pi}{2}\sin\theta\right)}{\cos\theta}.$$

表 1 列出比值 $\frac{l}{\lambda}$ 为 0.25、

图 4 对称振子
0.3、0.375、0.5 等不同值时
四个对称振子的 $F_1(\theta)$ 值。这些振子的方向图画于图 5，这里
 $F_1(\theta)$ 被 $\theta = 0$ 时的 $F_{1\max}(\theta)$ 所规范化。

表 1 函数 $\frac{F_1(\theta)}{F_{1\max}(\theta)}$ 的数值

θ°	$\frac{l}{\lambda}$			
	0.25	0.3	0.375	0.5
0	1.000	1.000	1.000	1.000
5	0.995	0.994	0.992	0.988
10	0.978	0.975	0.968	0.945
15	0.952	0.945	0.920	0.875
20	0.915	0.910	0.872	0.788
25	0.870	0.851	0.812	0.686
30	0.817	0.790	0.741	0.578
35	0.757	0.727	0.661	0.469
40	0.694	0.661	0.585	0.371
45	0.628	0.592	0.507	0.278
50	0.561	0.516	0.436	0.203
55	0.489	0.447	0.354	0.138
60	0.418	0.380	0.300	0.087
65	0.350	0.312	0.241	0.052
70	0.281	0.246	0.204	0.038
75	0.224	0.186	0.138	0.015
80	0.141	0.128	0.087	0.003
85	0.069	0.070	0.025	0.000
90	0.000	0.000	0.000	0.000

倘若公式(6)中各辐射器间的距离等于 $\frac{\lambda}{2}$, 则简化为

$$F_n(\theta) = \frac{\sin\left(n\frac{\pi}{2}\sin\theta\right)}{\sin\left(\frac{\pi}{2}\sin\theta\right)}. \quad (11)$$

当利用多层的辐射器阵时(图 6), 其方向图将决定于下式: